

# مقارنة لأساليب التقدير التكرارية للبيانات المرتبطة ذاتيا

م. د. جنان عباس ناصر  
معهد الادارة / الرصافة

## المستخلص

في هذا البحث نستعرض اساليب الـ ARIMA( $p,d,q$ ) ، الـ DLM و الـ EWMA (النمذجة الديناميكية الخطية) بأيجاز لتكوين بنية الارتباط الذاتي للبيانات. نعتمد خوارزميات التقدير التكرارية والتنبؤ المعتمدة على أسلوب بيز وتقنية كالمان لمشاهدات مرتبطة. نتحري عن تأثير تلك المعالجات لمتوسط مربعات الخطأ ( MSE ) ونقارن بينهم باستخدام بيانات مولدة.

## Abstract:

In this study, we review the ARIMA ( $p, d, q$ ), the EWMA and the DLM (dynamic linear modelling) procedures in brief in order to accomdate the ac(autocorrelation) structure of data .We consider the recursive estimation and prediction algorithms based on Bayes and KF (Kalman filtering) techniques for correlated observations.We investigate the effect on the MSE of these procedures and compare them using generated data.

## 1- المقدمة

من المقيد استخدام النظرية والتطبيقات الخاصة بلوحات السيطرة لتحسين النوعية والانتاجية في العديد من المجالات الصناعية. أذ طورت تلك النظرية على افتراض أساسى وهو كون المشاهدات المستخدمة للوحات السيطرة تكون مستقلة [5].أذ يمكن افتراض نموذج المشاهدة في هذه الحالة بالصيغة الآتية :

$$X_t = \mu + \varepsilon_t \quad \dots (1.1)$$

عندما تمثل  $X_t$  المشاهدة رقم  $t$  ( $t=1,2,\dots,n$ ), ويمثل  $\mu$  متوسط العملية وتكون الاخطاء ( $\varepsilon_t$ ) متغيرات عشوائية مستقلة ومتطابقة التوزيع (iid) بمتوسط صفر وتبين ثابت مقداره  $\sigma^2$ . وفي التطبيقات الصناعية، توجد ثلاثة انواع من لوحات السيطرة، بالتحديد لوحدة شيوارت التي استخدمت من قبل الباحث Shewart [7] عام 1931 عندما يكون المتغير تحت السيطرة يتبع التوزيع الطبيعي للكشف عن الانحرافات الكبيرة في متوسط العملية الانتاجية. ولوحة cusum اقترحت من قبل الباحث Page [7] عام 1961 وطورت من قبل الباحث Lucas عام 1973 باستخدام المجموع المتراكم الذي يظهر التغيرات الفجائية في متوسط العملية الانتاجية على شكل اتجاه خطى للقيم المرسمة في لوحدة cusum . ولوحة Exponentially Weighted Moving Average (EWMA) التي اقترحت من قبل الباحث Roberts [10,7] عام 1959 وذلك برسم المتوسط المتحرك الموزون آسيا ولكافحة المشاهدات السابقة والحالية للعملية الانتاجية .

أذ تمثل لوحدة EWMA دالة التنبؤ بفترة واحدة للامام (the one-step-ahead forecast) المقتدم ذكرها في الصيغة (1.1) تعطى بتحقيق خطة المتوسط المتحرك الموزون آسيا وكما يلي

$$\hat{Z}_t = X_{t,1} = \sum_{j=0}^n \lambda(1-\lambda)^j X_{t-j} \quad \dots (1.2)$$

عندما تكون  $1 < \lambda < 0$  أذ تكون المعادلة في الصيغة (1.2) مكافئة للصيغة التكرارية التالية :  
 $Z_t = \lambda X_t + (1-\lambda) Z_{t-1} \quad \dots (1.3)$

أذ يتم اختيار قيمة بداية ملائمة لـ  $Z_0$ . وتكون لوحدة Exponentially Weighted Moving Average (EWMA) اسلوب شائع الاستخدام في عملية السيطرة الاحصائية ، حين تكون المشاهدات غير مرتبطة كما مبينة في الصيغة (1.1) وان حدي السيطرة الادنى (LCL) و الاعلى (UCL) لتلك اللوحة (تحت شروط حالة الاستقرارية) تكون وفق الصيغة الآتية [7,5]:

$$LCL = \bar{X} - K\sigma\sqrt{\lambda/(n(2-\lambda))}$$

$$UCL = \bar{X} + K\sigma\sqrt{\lambda/(n(2-\lambda))}$$

ويتمثل  $\bar{X}$  متوسط العينة، ونموذجيا تكون قيمة  $K=2$  لحدود التحذير و  $K=3$  لحالات الخروج عن السيطرة . الا انه بالتطبيق غالبا ما يخالف شرط الاستقلالية للمشاهدات. حيث يمكن الكشف عن الارتباط الذاتي من خلال رسوم تشخيصية او من خلال صيغ اختبارات للاستقرارية في السلسلة الزمنية، اذ تستخرج قيم معاملات الارتباط الذاتي الخاصة بالسلسلة فإذا كانت السلسلة مستقرة فأن قيم معاملات الارتباط الذاتي تقترب من الصفر بعد الوقت الثاني او الثالث. بكلام اخر، ان السلسلة الزمنية تبقى ثابتة بمرور الزمن عندما يكون التوزيع المشترك للمشاهدات  $X_{t_1}, X_{t_2}, \dots, X_{t_n}$  نفس التوزيع المشترك للمشاهدات  $X_{t+k}, X_{t+2+k}, \dots, X_{t+n+k}$

$$F(X_{t_1}, X_{t_2}, \dots, X_{t_n}) = F(X_{t_1+k}, X_{t_2+k}, \dots, X_{t_n+k})$$

- وان شروط الاستقرارية هي : قيمة الوسائط الحسابية ثابتة اي

$$E(X_t) = \mu$$

- قيمة التباين ثابتة اي

$$E(X_t - \mu)^2 = \sigma^2$$

- دالة التغير ( التباين الذاتي المشترك ) Autocovariance هي دالة في فرق الزمن اي

$$E((X_t - \mu)(X_{t+k} - \mu)) = \gamma_x(k)$$

اما السلاسل الزمنية غير المستقره فهي السلاسل التي تتغير خصائصها بتغير الزمن اذ تقترب فيها قيم معاملات الارتباط الذاتي من الصفر بعدد كبير من الفترات الزمنية . وتسمى السلسلة الزمنية بانها مستقرة من الدرجة الثانية، اذا حققت الشرطين الاول والثاني من الشروط اعلاه وباستخدام عامل الفروقات الارتدادي Backward Difference Operator )

ـ  $\nabla$  ويكون  $\nabla X_t = X_t - X_{t-1}$  وتصبح السلسلة الزمنية مستقرة بعد اخذ  $d$  من

$$\text{الفروقات اي } Y_t = \nabla^d X_t$$

ان رسم بسيط للبواقي (Residuals) ممكن ان يساعد في الكشف عن الارتباط الذاتين فمثلا اذا البواقي المرسومة مقابل الوقت تتغير بسرعة في الاشارة، ربما يبين ذلك وجود ارتباط ذاتي سالب. من ناحية ثانية، وجود عدد كبير غير اعتيادي للبواقي متجمعة معا على نفس الجانب للمتوسط ربما يبين ذلك وجود اخطاء محكومة بالارتباط ذاتي الموجب. ان مخالفة افتراض الاستقلالية للمشاهدات نتيجة لوجود ارتباط ذاتي بينهما له تأثير جاد على لوحات السيطرة. وان تجاهل تأثير وجود اخطاء مرتبطة بشكل موجب (او بشكل سالب) له تأثير على تقدير قيمة التباين الحقيقي  $\sigma^2$ .

عموما فان ذلك يؤدي الى تزايد التكرار لانذارات زانفة. بعبارة اخرى ، يكون متوسط طول التشغيل (Average Run Length (ARL)) اقصر بكثير منه للحالة التي تكون فيها مشاهدات

العملية غير مرتبطة. لهذا وعلى الاغلب ،لايمكن ان تحدد الحالة الحقيقية للسيطرة على العملية من لوحات السيطرة الاعتيادية .

بناءاً على ما تقدم، فقد اعتمدت عدة نماذج للبيانات المرتبطة ذاتياً مثل طريقة Exponentially Weighted Moving Average (EWMA) والنمذجة الديناميكية (DLM) وأسلوب بيزوتقنية كالمان لتحديد افضل نموذج اعتماداً على قيمة متوسط مربعات الخطاء (MSE ) كمعيار مطلق للمفاضلة بين تلك الطرق .

## 2. هدف البحث

يتمثل بالمقارنة بين اسلوب Exponentially Weighted Moving Average (EWMA) ، والـ DLM (النمذجة الديناميكية الخطية)، اسلوب بيزوتقنية كالمان لتحديد افضل نموذج للبيانات المرتبطة من خلال دراسة تأثير كل اسلوب على قيمة متوسط مربعات الخطاء (MSE ) من خلال السلاسل زمنية مرتبطة ذاتياً ومولدة وفقاً لتوليفات مختلفة لبيان سلسلة السير العشوائي (Random Walk) ولبيان سلسلة المشاهدات.

## 3. النماذج لبيانات مرتبطة ذاتياً

في المراجع التاريخية لهذا الموضوع توجد طريقتين رئيسيتين متاحة لتركيب لوحات السيطرة لبيانات مرتبطة . أذ تعتمد الطريقة الاولى على تقدير نموذج انحدار ذاتي - اوساط متحركة متكامل ( Integrated autoregressive – moving average model (ARIMA) ) للعملية الاصلية لتضمين بنية الارتباط الذاتي، ثم تكون لوحات السيطرة للبواقي. اما الطريقة الثانية فهي لوحات السيطرة المعتمدة على احصاءة الـ EWMA [7,5,10] ، كما سيرد شرحها بايجاز.

### 3.1 نماذج ARIMA (p, d, q)

تكون صيغة النموذج العام نموذج انحدار ذاتي - اوساط متحركة متكامل (ARIMA) من الرتبة ( p,d,q ) كالاتي [3,9] :

$$\Phi(B)(1-B)^d X_t = \Theta(B)\varepsilon_t \quad \dots(3.1)$$

عندما تكون  $\Phi(B) = 1 - \phi_1 B - \phi_2 B^2 - \dots - \phi_p B^p$  متعدد حدود من الدرجة p لنموذج انحدار ذاتي (AR(P)) مستقر. وتكون  $\Theta(B) = 1 - \theta_1 B - \theta_2 B^2 - \dots - \theta_q B^q$  متعدد حدود من الدرجة q لنموذج اوساط متحركة (MA(q)) انعكاسي (invertible) . ويمثل B عامل الارتداد الخلفي ( $B^j X_t = X_{t-j}$ ) والاخفاء ( $\varepsilon_t$ ) متغيرات عشوائية مستقلة ومتطابقة التوزيع (iid)

بمتوسط صفر وتبين  $\sigma^2$  . لنفرض  $\hat{X}_t$  تكون القيمة المتنبأ بها بالوقت t من تقدير نموذج ARIMA في الصيغة (3.1) ، واحطاء التنبؤ بفتره واحدة للامام ( او البوافي ) معطاة بالصيغة الآتية [8] :

$$\varepsilon_t = X_t - \hat{X}_t, \quad t=1,2,\dots$$

أن الاخفاء ( $\varepsilon_t$ ) تكون متغيرات عشوائية مستقلة ومتطابقة التوزيع، إذا كان النموذج المقدر لامام من حيث الرتبة المضوعة له. لهذا السبب، لعملية السيطرة الاحصائية بيانات مرتبطة، يمكن تطبيق لوحات السيطرة للبواقي المقدرة من النموذج المقدر ARIMA(p,d,q) [1,7] ، ويقال ان العملية X\_t (ARIMA) في الصيغة (3.1) خارج السيطرة إذا يوجد انحراف معنوي في

مستوى المتوسط، ويمكن اكتشاف هذا الانحراف من تطبيق لوحة السيطرة للبواقي لأنه يفترض تشخيص غير ملائم للنموذج من حيث الرتبة الموضوعة له ليكون منقول للبواقي .

### 3.2 لوحات الـ EWMA لبيانات مرتبطة ذاتيا

يمكن استخدام خطة الاوساط المتحركة الموزونة اسيا ( Exponentially Weighted Moving Average (EWMA)) في الصيغة (1.3) لبيانات مرتبطة ذاتيا. وللتوضيح، افترض بيانات سلسلة زمنية (متجانسة) غير مستقرة، يمكن نمذجتها بنموذج ARIMA(0,1,1) أو IMA(1,1) وفق الصيغة الآتية [8] :

$$U_t = \varepsilon_t - \theta \varepsilon_{t-1} \quad \dots (3.2)$$

عندما تكون  $\hat{X}_t = X_t - X_{t-1}$  . ولنفرض (1) تمثل التنبؤ بفترة واحدة للامام (معني اصغرمتوسط مربع ) للوقت  $t+1$  عملت في الوقت  $t$  . دالة التنبؤ المثلى المطابقة تعطى بالمتوسط الشرطي وكمالي :

$$Z_t = E(X_{t+1} / X_t, X_{t-1}, \dots) = X_t - \theta \varepsilon_t \quad \dots (3.3)$$

اذا تكون الصيغة (3.3) مكافئة للصيغة (1.3) بالمعلمة  $(1-\theta) = \lambda$  لأنها

$$Z_t = X_t - \theta(X_t - Z_{t-1}) \quad \text{نحصل على} \quad \varepsilon_t = X_t - Z_{t-1}$$

وبفتح القوس نحصل على  $Z_t = X_t - \theta Z_{t-1} + \theta X_{t-1}$  ثم اخراج عامل مشترك  $X_t$  من الحد الاول والثاني نحصل على  $Z_t = (1-\theta) X_t + \theta Z_{t-1}$  وهي مكافئة للصيغة (1.3) بالمعلمة  $(1-\theta) = \lambda$  وان  $\theta$  ستكون مساوية لـ  $(1-\lambda) = \theta$  في هذه الحالة ، فان اخطاء التنبؤ بفترة واحدة للامام ( $\varepsilon_t$ ) تكون مستقلة بمتوسط صفر وانحراف معياري ( $\sigma$ ) ، اذا كان الانموذج (IMA(1,1) المقدر ملائم من حيث الرتبة الموضوعة له. عموماً فإن الـ EWMA ملائمة ستعطي تنبؤ جيد عند فترة واحدة للامام [7] حتى لو كانت المشاهدات من عملية مرتبطة بشكل موجب او بشكل سالب ومتوسط عملية لاينحرف بسرعة كبيرة .

### 3.3 النماذج الديناميكية الخطية من الرتبة الاولى (DLM)

ازداد الاهتمام بالنظرية والتطبيق للأساليب التكرارية والتنقية في عملية السيطرة الاحصائية [12,11]. اذا افترضنا النموذج الديناميكي الخطى من الرتبة الاولى (First Order Dynamic Linear Model) حين يكون متوسط العملية سير عشوائي (Random Walk) يتغير ببطء كمثال لطريقة تكرارية ثم تبين بأن هذا النموذج يمكن ان يمثل خطة الـ EWMA بصورة جيدة وبمعلومات مختارة بصورة ملائمة. لنفرض سلسلة من المشاهدات مولدة بالصيغة الآتية [8] :

$$X_t = \mu_t + v_t \quad \dots (3.4)$$

عندما تكون  $v_t \sim N(0, U_t^2)$  ، أي ان الحد  $v_t$  يتبع التوزيع الطبيعي بمتوسط صفر وبيان عند الفترة  $t$  مقداره  $U_t^2$  ويمثل  $U_t^2$  مستوى المتوسط عند الوقت  $t$  . ولنفرض نشوء الوقت لمستوى المتوسط يتبع السير العشوائي وفق الصيغة الآتية :

$$\mu_t = \mu_{t-1} + w_t \quad \dots (3.5)$$

عندما تكون  $w_t \sim N(0, V_t^2)$  ، أي ان الحد  $w_t$  يتبع التوزيع الطبيعي بمتوسط صفر وبيان عند الفترة  $t$  مقداره  $V_t^2$  . وبافتراض ان السلسلتين  $\{v_t\}$  ،  $\{w_t\}$  تكونان مستقلتين خلال الوقت، وتكون عملية مستقلة بشكل متقارب لكل قيم  $t$  .

بوضع التباينات  $U_t^2 = V_t^2$  كثوابت خلال الوقت يمكن الحصول على الحالة الخاصة والمهمة للصيغتين (3.4) و(3.5). وان الانحراف النسبي للحالة في الصيغة (3.5) لمعادلة المشاهدة في الصيغة (3.4) في حالة النموذج الثابت الاخير تعطى بـ  $r = V^2/U^2$  وتعرف كنسبة تذبذب الاشارة (Single to Noise Ratio). ان الصيغة (3.4) بالوقت (t-1) تكون  $\mu_{t-1} + V_{t-1}$  وبجمع الصيغة (3.4) بالوقت (t) ونفس الصيغة بالوقت (t-1) والتقدم ذكرها نحصل على  $X_t - X_{t-1} = \mu_t - \mu_{t-1} + V_t - V_{t-1}$  وحيث ان  $W_t = \mu_t - \mu_{t-1}$  من الصيغة (3.5)، وبذلك في حالة ثبات التباين في الصيغتين (3.4) و(3.5) نحصل على

$$X_t - X_{t-1} = W_t + V_t - V_{t-1} \dots (3.6)$$

ويمكن اعادة كتابة الصيغة (3.6) كنموذج IMA(1,1) لمعلمات مختارة بصورة ملائمة لـ

$\theta^2$  وكالاتي

$$X_t - X_{t-1} = \varepsilon_t - \theta \varepsilon_{t-1} \dots (3.7)$$

عندما تكون  $\theta$  الحل للمعادلة  $0 = \theta(2U^2 + V^2) + U^2$  عندما تكون  $1/\theta$ ، وتكون الاصطاء ( $\varepsilon_t$ ) مختارة بصورة ملائمة ومستقلة ومتطابقة التوزيع من التوزيع الطبيعي وتمثل عملية ضوضاء بتباين  $\theta/U^2$ . وهكذا التنبؤ من نموذج ديناميكي خطى بتباين ثابت يحقق الصيغتين (3.4) و(3.5) يمكن ان يكون مستحصل بخوارزمية الـ EWMA المعطاة في المبحث (3.2).

#### 4. التقدير التكراري بطريقة بيز وتنقية كالمان

يتناول هذا المبحث طريقيتين تكرارية وطرق التنبؤ المعتمدة على خوارزمية بيز (Bayesian) وتنقية كالمان (Kalman Filtering). اولاً، نفترض طريقة بيزين باستخدام النموذج الديناميكي الخطى من الرتبة الاولى والمتقدم ذكرها في المبحث (3.3) وكما يلى:

##### 4.1 خوارزمية بيزين

لنفرض  $F^t$  تمثل  $\sigma$ -algebra- مولدة بـ  $X_t, X_{t-1}, \dots, X_1$  ولنفرض  $F^0$  تمثل المعلومة الابتدائية المتوفرة حول العملية. وبافتراض معرفة التوزيع الابتدائي  $(\mu_{t-1}/F^{t-1}) \sim N(m_{t-1}, \alpha_{t-1}^2/F^{t-1})$  والتوزيع اللاحق  $(\mu_0/F^0) \sim N(m_0, \alpha_0^2)$ .

وباعتماد النظرية التالية [8] :

$$1. \text{ التوزيع الاولى } (\mu_t/F^{t-1}) \sim N(m_{t-1}, \alpha_{t-1}^2 + U^2)$$

$$2. \text{ توزيع التنبؤ } (X_t/F^{t-1}) \sim N(m_{t-1}, \alpha_{t-1}^2 + U^2 + V^2)$$

$$3. \text{ التوزيع اللاحق } (\mu_t/F^t) \sim N(m_t, \alpha_t^2)$$

عندما تتحقق دالة التنبؤ بفترة واحدة للامام الصيغة التكرارية التالية [12] :

$$m_t = m_{t-1} + [(\alpha_{t-1}^2 + U^2)/(\alpha_{t-1}^2 + U^2 + V^2)](X_t - m_{t-1})$$

##### 4.2 التقدير التكراري بتنقية كالمان

في هذا المبحث يتم استخدام اسلوب تنقية كالمان لنموذج ARIMA(0,1,1) لعرض المقارنة بين الخوارزميات التكرارية. في التنبؤ لا يمكن تجاهل الطبيعة التكرارية للمعادلات الاساسية.

وهناك طريقة شائعة تتضمن تلك الطبيعة التكرارية وتعرف بتنقية كالمان (Kalman Filtering(KF)، المقترحة اصلا من قبل الباحث كالمان [6] عام 1960. وفي السنوات الأخيرة، لعبت تمثيلات فضاء الحالة وخوارزميات KF لعمليات معينة دور مهم في مسائل التقدير والتنبؤ. إذ ان تطوير هذه النظرية يتكون من معاذتين، عرفت كمعادلة المشاهدة ومعادلة الحالة وكما مبين أدناه :

بافتراض ان معادلة المشاهدة في الحالة القياسية او الكمية (the scalar case) تكون

$$Y_t = G_t X_t + v_t \quad \dots(4.1)$$

عندما يكون كل من  $G_t$  و  $X_t$  متجهات مختارة بصورة ملائمة وان  $v_t \sim N(0, U^2)$  نشوء الوقت لمتجه الحالة  $X_t$  يتبع الصيغة

$$X_{t+1} = F_t X_t + w_t \quad \dots(4.2)$$

عندما تكون  $F_t$  مصفوفة ملائمة و  $w_t \sim N(0, V^2)$ . وباعتماد نموذج ARIMA(0,1,1) في الصيغة (3.7) ، للتوضيح تكتب صيغة فضاء الحالة اعلاه باستخدام المتجهات والمصفوفات

$$F_t = (-\theta, 1, 1) = F$$

و

$$X_t = (X_{t-1}, X_t, Y_{t-1})'$$

وبتطبيق خوارزمية تنبؤ كالمان القياسية [4] ، نحصل على الصيغة التكرارية لدالة التنبؤ بفتره واحدة لللامام  $Z_t$  وكمالي [8] :

$$Z_t = aX_t + (1-a)Z_{t-1} \quad \dots(4.3)$$

$$\Omega = \{V^2 + \sqrt{V^4 + 4U^2V^2}\}/2 \quad \text{و} \quad a = \Omega/(\Omega + U^2)$$

## 5. معيار المقارنة

في حالة الاستقرارية لـ  $t$  كبيرة، تم افتراض بان الربح في المعلومة من مشاهدة جديدة يكون مساوي بالضبط للخسارة بالمعلومة كلما تنتقل من حالة الى حالة اخرى. ولاغراب المقارنة بين الاساليب المتقدم ذكرها، يتم استخدام المعيار الاحصائي متوسط مربعات الخطاء المحاذي (asymptotic MSE) تحت شروط حالة الاستقرارية [8] ، وكل اسلوب كما مبين أدناه :

- اسلوب الـ EWMA ، فان  $MSE = (\lambda \sigma^2)/(2-\lambda)$  عندما تكون  $(1-\lambda) = \lambda$ .

- اسلوب الـ DLM ، فان  $MSE = (A+1)U^2 + V^2$  عندما تكون

$$A = \{V(\sqrt{V^2 + 4U^2} - V)\}/2$$

- اسلوب بيز، فان  $MSE = AU^2$  عندما تكون  $A = \{V(\sqrt{V^2 + 4U^2} - V)\}/2$

- اسلوب تتقية كالمان ،  $MSE = \Omega + U^2$  عندما تكون

$$\Omega = \{V^2 + \sqrt{V^4 + 4U^2V^2}\}/2$$

فضلا عن اعتماد  $r$  وتمثل نسبة تذبذب الاشارة المتقدم ذكرها في المبحث (3.3) .

## 6. الجانب التجاري

لفرض تحديد تأثير الاساليب المتقدم ذكرها في الجانب النظري والمتمثلة بـ EWMA و DLM و بيز (Bayes) وتنقية كالمان (Kalman) من خلال حساب قيم متوسط مربعات الخطأ (MSE) وفق الصيغ المتقدم ذكرها في المبحث (5) ولكل اسلوب، فضلا عن اعتماد نسبة تذبذب الاشارة المتقدم ذكرها في المبحث (3.3) لفرض المقارنة. فقد تم افتراض عدة قيم للبيانات  $V^2$  و  $U^2$  لتوليد سلسلة السير العشوائي و سلسلة المشاهدات وفقا للخطوات الآتية :

اولا- تم توليد سلسلة السير العشوائي  $\mu_t$  وفق الصيغة (3.5) المتقدم ذكرها في المبحث (3.3) وهي  $\mu_t = \mu_{t-1} + W_t$  عندما تكون  $W_t \sim N(0, V^2)$  وبقيمة ابتدائية  $\mu_0 = 0$  ، ومن خلال افتراض

قيمة  $V^2$  وبحجم منه قيمة  $\mu$ .

ثانيا - بعد توليد سلسلة  $\mu_t$  يتم دمجها لتوليد سلسلة المشاهدات  $X_t$  وفق الصيغة (3.4) المتقدم ذكرها في المبحث (3.3) وهي  $X_t = \mu_t + v_t$  عندما تكون  $v_t \sim N(0, U^2)$  ، ومن خلال افتراض قيمة  $U^2$  وبينس الحجم للسلسلة  $\mu$ .

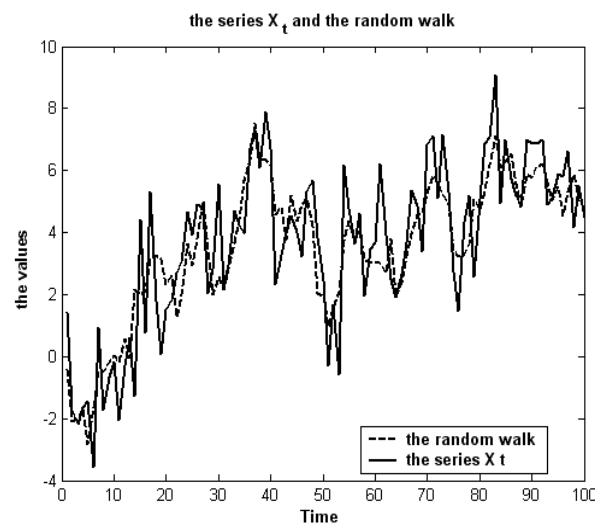
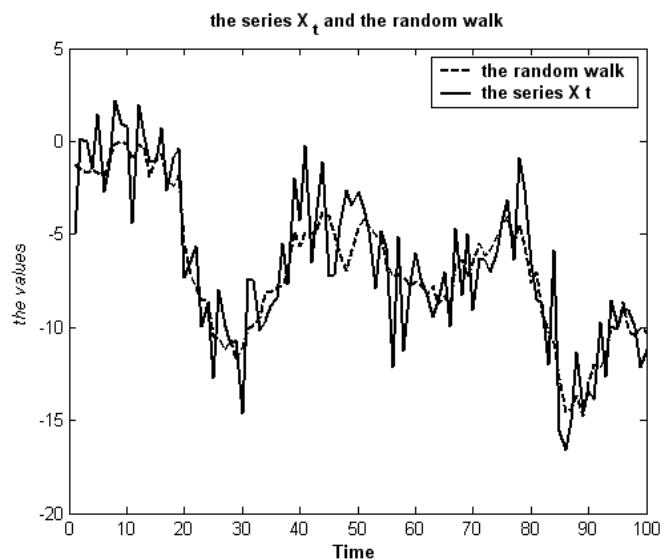
ثالثا - بعد توليد سلسلة المشاهدات  $X_t$  يتم ايجاد سلسلة الفروق  $(X_t - X_{t-1})$ .

وقد كررت الخطوات اعلاه لتوليد السلسلتين الزمنية وفقا لعدة قيم  $V^2$  وهي  $V^2 = 1, 2, 3, 4, 5, 6, 7$  . وكذلك وفقا لعدة قيم  $U^2$  وهي  $U^2 = 2, 4, 6$  وبحجم منه قيمة  $\mu$ .

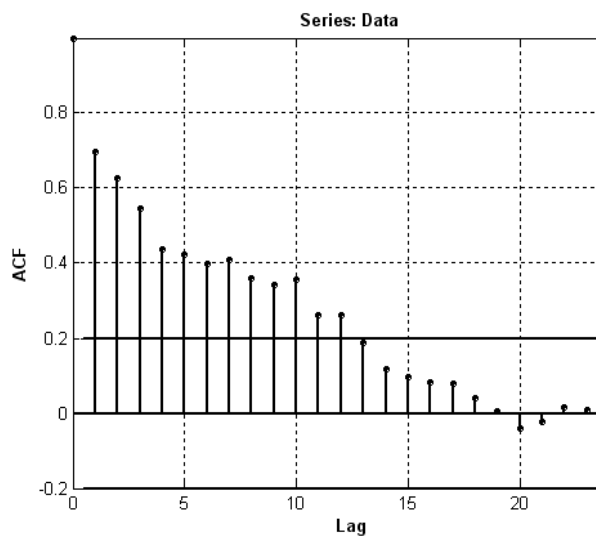
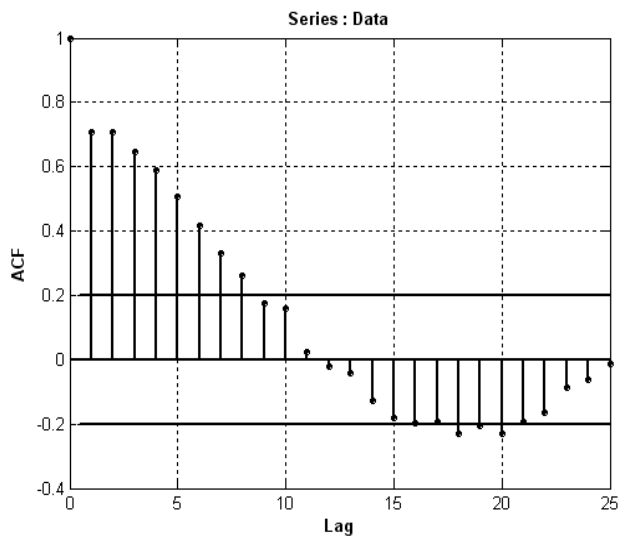
وقد استخدم الـ Matlab لتوليد السلسلتين الزمنية وفق القيم المفترضة  $V^2$  و  $U^2$  . ورسم سلسلة السير العشوائي  $\mu_t$  مع سلسلة المشاهدات  $X_t$  وفق الصيغتين (3.5) و (3.4) وعلى التوالي ولمنة قيمة مولدة ، فضلا عن حساب سلسلة الفروق  $(X_t - X_{t-1})$  . نعرض بعض منها ،

انظر الشكل (1.1) المرسوم وفقا لقيم  $V^2 = 1$  و  $U^2 = 2$  . فضلا عن رسم دالة الارتباط الذاتي (ACF) للسلسلة المشاهدات  $X_t$  في الشكل (1.2) و كذلك رسم دالة الارتباط الذاتي (ACF) للسلسلة الفروق  $(X_t - X_{t-1})$  في الشكل (1.3) . ورسوم مماثلة بالاشكال (2.1) ، (2.2) و (2.3).

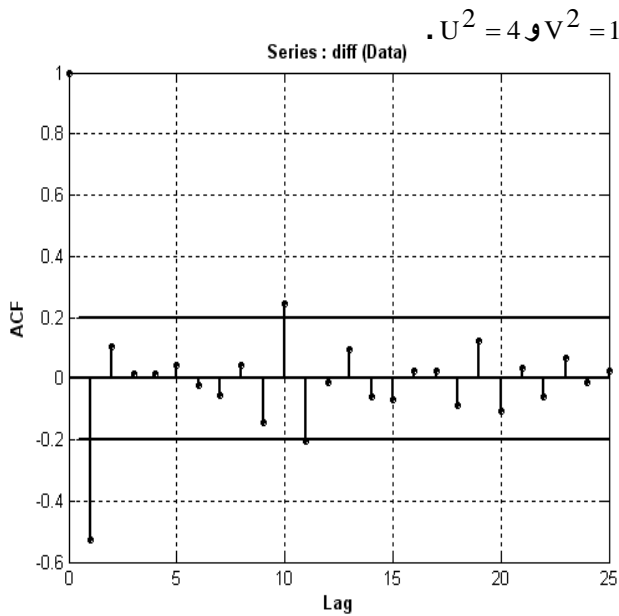
وفقا لقيم  $V^2 = 1$  و  $U^2 = 4$  .



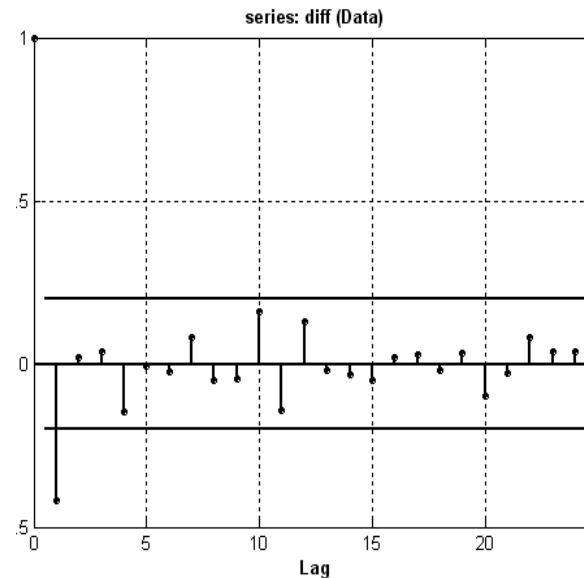
شكل ( 1.1 ) يبين سلسلة  $X_t$  و  $\mu_t$  وفقاً لقيم  $U^2 = 2$  و  $V^2 = 1$ .  
شكل ( 2.2 ) يبين سلسلة  $X_t$  و  $\mu_t$  وفقاً لقيم  $U^2 = 4$  و  $V^2 = 1$ .



شكل (2.2) رسم دالة الارتباط الذاتي (ACF) للسلسلة  $X_t$  وفقا لقيمة  $U^2 = 2$  و  $V^2 = 1$ .



شكل (2.3) رسم دالة الارتباط الذاتي (ACF) للسلسلة الفروق (X<sub>t</sub> - X<sub>t-1</sub>) وفقا لقيمة  $U^2 = 2$  و  $V^2 = 1$ .



ولأن سلسلة الفروق  $(X_t - X_{t-1})$  تتبع عملية MA(1)، لذا فقد استخدم التطبيق الجاهز Minitab لتقدير النموذج  $X_t - X_{t-1} = \varepsilon_t - \theta \varepsilon_{t-1}$  وكل القيم المفترضة للتباينات  $\hat{\sigma}^2$  و  $\hat{U}^2$ . إذ تم الحصول على القيم المقدرة  $\hat{\theta}$  و  $\hat{\sigma}$  المستخدمة في حساب MSE لأسلوب EWMA بالمعنمة  $\lambda = 1 - \hat{\theta}$ . وبحساب قيمة MSE للاساليب المستخدمة في البحث باستخدام الـ matlab لغرض المقارنة فضلا عن حساب نسبة تذبذب الاشارة ( $r$ ) والمدونة في جدول (1) نلاحظ مايلي :

- تزداد قيمة MSE وفقا لأسلوب DLM وبيز وتنقية كالمان بزيادة نسبة تذبذب الاشارة ( $r$ ) (وكل القيم المفترضة  $\hat{U}^2$  بثبات قيمة  $\hat{V}^2$ ).
- تزداد قيمة MSE وفقا لأسلوب DLM وبيز وتنقية كالمان بتناقص نسبة تذبذب الاشارة وكل القيم المفترضة  $\hat{U}^2$  بثبات قيمة  $\hat{V}^2$ .
- تكون قيمة MSE لأسلوب EWMA متذبذبة بزيادة ونقصان بزيادة  $r$  للقيم المفترضة  $\hat{U}^2 = 2,3$  عندما تكون  $\hat{V}^2 = 2$ . الا انه تزداد قيمة MSE لأسلوب نفسه بزيادة  $r$  لبقية قيم  $\hat{V}^2 = 1,4,5,6$  عندما تكون  $\hat{U}^2 = 4,6$ . وكذلك تناقص قيمة MSE بزيادة  $r$  لقيم  $\hat{V}^2 = 3,7$  وكل قيمة  $\hat{U}^2$ .

- تزداد قيم MSE لاسلوب الـ EWMA بتناقص  $r$  وكل القيم المفترضة  $U^2$  بثبات قيمة  $V^2$  ، وكل قيمة من قيم  $V^2$  عدا  $V^2 = 3,5,6$  . اذ تكون قيمة MSE متذبذبة بزيادة وتناقص وكل قيم  $U^2$  بثبات قيمة  $V^2$  عند احدى قيم  $V^2 = 1,2,4,7$  المفترضة .
- ان قيم MSE لاسلوب الـ EWMA تكون اصغر مقارنة بقيم MSE لاسلوب DLM وتنقية كالمان وكل القيم المفترضة  $L$   $U^2$  و  $V^2$  .
- ان قيم MSE لاسلوب الـ EWMA تكون اصغر مقارنة بقيم MSE لاسلوب بيز وكل القيم المفترضة  $L$   $U^2$  عدا قيمة  $2$   $U^2$  وكل القيم  $MSE$  لـ  $U^2$  . اذ نلاحظ ان قيمة  $MSE$  لاسلوب بيز تكون اصغر من قيم  $MSE$  لـ  $EWMA$  عند قيمة  $2$   $U^2$  وكل قيم  $V^2$  عدا القيمتين  $1,3$   $V^2$  فان قيم  $MSE$  لـ  $EWMA$  تكون اصغر من قيم  $MSE$  لاسلوب بيز ونفس التوليفتين المتقدم ذكرها . وبشكل عام فان اسلوب بيز يعطي اصغر  $MSE$  عندما  $\theta \approx 0$  مقارنة ببقية الاساليب .
- ان قيم MSE لاسلوب بيز تكون اصغر مقارنة بقيم MSE لاسلوب DLM وتنقية كالمان وكل القيم المفترضة  $L$   $V^2$  و  $U^2$  . وان قيم MSE لاسلوب بيز تكون اصغر مقارنة بقيم MSE لاسلوب تنقية كالمان وكل القيم المفترضة  $L$   $U^2$  عدا قيمة  $6$   $U^2$  وكل القيم المفترضة  $L$   $V^2$  . اذ نلاحظ ان قيمة  $MSE$  لاسلوب كالمان عند تلك القيم ( $2 = U^2$  و  $U^2 = V^2$ ) تكون اصغر مقارنة بقيم  $MSE$  لاسلوب بيز .

جدول ( 1 ) يبين القيم المفترضة للبيانات  $V^2$  و  $U^2$  سلسلة السير العشوائي وسلسلة المشاهدات

وعلى التوالي ونسبة تذبذب الاشارة ( $r$ ) والقيم المقدرة ( $\hat{\theta}$  و  $\hat{\sigma}$ ) لسلسلة الفروق ( $X_t - X_{t-1}$ ) ، وقيم متوسط مربعات الخطاء المحاذي (asymptotic MSE) لكل اسلوب .

NO.	$V^2$	$U^2$	$r$	$\hat{\theta}$	$\hat{\sigma}$	asymptotic MSE			
				EWMA	DLM	Bayes	Kalman		
1	1	2	0.50	0.6316	3.275	0.739	5.000	2.000	4.000
2	1	4	0.25	0.5484	7.788	2.271	11.246	6.246	6.562
3	1	6	0.17	0.8145	7.276	0.744	19.000	12.000	9.000
----	2--	--	----	----	----	----	----	----	----
4	2	2	1.00	0.3616	6.360	2.982	6.472	2.472	5.236
5	2	4	0.50	0.4463	7.382	2.826	14.000	8.000	8.000
6	--	6	0.33	0.6043	9.377	2.313	23.633	15.633	10.606
----	3	--	----	----	----	----	----	----	----
7	3	2	1.50	0.4422	5.996	2.319	7.745	2.745	6.372
8	3	4	0.75	0.4295	8.042	3.209	16.099	9.099	9.275
9	--	6	0.50	0.4813	10.890	3.813	27.000	18.000	12.000
----	4	--	----	----	----	----	----	----	----
10	4	2	2.00	0.288	5.859	3.232	8.928	2.928	7.464
11	4	4	1.00	9	12.720	5.964	17.889	9.889	10.472
12	--	6	0.67	0.3616	12.410	5.381	29.749	19.749	13.292
----	5	--	----	0.3951	----	----	----	----	----
13	5	2	2.50	----	7.291	4.045	10.062	3.062	8.531
14	5	4	1.25	0.2863	10.930	3.841	19.494	10.494	11.623

15	--	6	0.83	0.4799	12.610	5.273	32.125	21.125	14.521
----	6	--	----	0.4103	-----	-----	-----	-----	-----
16	6	2	3.00	---	8.847	5.923	11.165	3.165	9.583
17	6	4	1.50	0.1980	8.648	5.408	20.978	10.978	12.745
18	--	6	1.00	0.2305	15.730	7.157	34.249	22.249	15.708
----	7	--	----	0.3746	-----	-----	-----	-----	-----
19	7	2	3.50	---	9.806	5.296	12.247	3.247	10.623
20	7	4	1.75	0.2986	11.930	7.037	22.377	11.377	13.844
21		6	1.17	0.2580 0.4194	15.430	6.312	36.193	23.193	16.865

## 7. الاستنتاجات

أن أهم الاستنتاجات التي تم التوصل إليها من خلال نتائج هذا البحث المتعلقة بمقارنة الاساليب المتعلقة بالتقدير التكراري للبيانات المرتبطة ذاتياً والمتمثلة بـ DLM و EWMA و بيز وتنقية كالمان من خلال تأثير كل اسلوب على القيمة المحتسبة لمتوسط مربعات الخطأ (MSE) نلاحظ الآتي :

- تكون قيم MSE لاسلوب EWMA اصغر من قيم MSE لاسلوب DLM وبيز وكالمان وكل القيم المفترضة للتباين  $V^2 = U^2$  عندما تكون  $U^2 = 4,6$ . فمثلا تكون قيمة MSE=23.633 لاسلوب EWMA وهي اصغر مقارنة بقيمة MSE=2.313 لاسلوب DLM والقيمة MSE=15.633 لاسلوب بيز والقيمة MSE=10.606 لاسلوب تنقية كالمان عندما تكون  $2 = V^2$  و  $6 = U^2$ . وبذلك فان تقريب البيانات المرتبطة ذاتيا بنموذج IMA (1, 1) يكون ملائم اكثر من بقية الاساليب المستخدمة في البحث.
- ان اسلوب بيز يعطي اصغر القيم لـ MSE مقارنة باسلوب DLM وتنقية كالمان وكل القيم المفترضة للتباين  $V^2 = U^2$  عندما تكون قيمة  $2,4 = U^2$ . بالتحديد عندما تقترب القيمة المقدرة لـ  $\theta$  من الصفر ( $\theta \approx 0$ ). فمثلا تكون قيمة MSE=6.246 لاسلوب بيز وهي اصغر مقارنة بقيمة MSE=11.246 لاسلوب DLM والقيمة MSE=6.562 لاسلوب تنقية كالمان عندما تكون  $1 = V^2$  و  $4 = U^2$ .
- تكون قيم MSE لاسلوب تنقية كالمان اصغر من قيم MSE لاسلوب DLM واسلوب بيز وكل القيم المفترضة للتباين  $V^2 = U^2$  عندما تكون  $6 = U^2$ . فمثلا تكون قيمة MSE=13.292 لاسلوب تنقية كالمان وهي اصغر مقارنة بقيمة MSE=29.749 لاسلوب DLM والقيمة MSE=13.292 لاسلوب بيز عندما تكون  $4 = V^2$  و  $6 = U^2$ .

### References:

1. Alwan, L.C and Roberts, H.V. (1988).Time seies modeling for statistical process control, Journal of Business and Economic Statistics, 6, 87-95.
2. Abraham, B., Thavaneswaran, A. and Peiris, S. (1996). On the prediction for a nonlinear time Series models using estimating

- equations. Lecture Notes Monograph Series, VOL.32, 259-267. (1.Basawa and R.L.Taylor Eds).
3. Abraham, B., and J.Ledolter (1986). Forecast functions implied by autoregressive integrated moving average models and other related forecast procedures. *International Statistical Review*, 54(1), 5-66.
  4. Brockwell, P.J. and Davis, R.A. (1996). *An Introduction to time Series and forecasting*, Second Edition. SpriSnger Verlag, New York.
  5. Hunter, J.S. (1986).The Exponentially Weighted Moving Average. *Journal of Quality Technology*, Oct. 1989 VOL.18, No.4, 203-209.
  6. Kalman, R. E. (1960) .Anew approach to linear filtering and prediction problems. *J. Basic Engineering* 82, 35-45.
  7. Montgomery, D .C. and Mastrangelo, C.M. (1991) .Some statistical process control methods for autocorrelated data. *Journal of Quality Technology*, July. 1991, VOL.23, No.3, 179-268.
  8. Mellor, R., Allen, D. peiris, S. Thavaneswaran, A. (2003) .Applications of Recursive Estimation Methods in statistical process control .Statistical Methohs , 5(2),156-171.
  9. Peiris, M.S. (2003). Improving the Quality of Forecasting using Generalized ARMA Models: An Application to statistical Quality control. International Conference on Statistics in Industry and Business, January 2-4, Cochin University, India.
  10. Roberts, S.W. (1959). Control Chart Tests Based on Geometric Moving Averages. *Technometrics*, 1, 239-251.
  11. Thavaneswaran, A., Macpherson, B.D., Abraham, B.(1998). An Application of Filtering to Statistical Process Control. Proceeding of the International Conference on Statistics in Industry and Business, January 1998, Cochin University, India.
  12. West, M and Harrison, J.(1989).*Bayesian Forecasting and Dynamic Modelling*, SpriSnger Verlag, New York.